

مقایسه مشخصات یک لیزر گاز کربنیک با نتایج بدست آمده از مدل تئوری پنج درجه حرارتی*

سیاوش مشفق همدانی ، علی اصغری اچقی ، فاطمه مداح ،

فریدون سلطانمرادی و محمدحسین بینش مروستی

مرکز تحقیقات هسته‌ای

سازمان انرژی اتمی

چکیده - در این مقاله خصوصیات طیفی مولکول سه اتمی خطی گاز کربنیک و ترازهای ارتعاشی و گردشی آن مورد تجزیه و تحلیل قرار گرفته و طرق مختلف تحریک و تسدیل انرژی در بین حالات ارتعاشی و گردشی بصورت یک مدل تئوری پنج درجه حرارتی عرضه می شوند . معادلات بدست آمده بصورت یک مجموعه معادلات دیفرانسیل می باشد که در آن از پنج درجه حرارت مختلف برای تشریح حالت فیزیکی مخلوط گازی $\text{CO}_2\text{-N}_2\text{-He}$ و از دیاد شدت نوری در داخل کاواک لیزر استفاده می شود . این معادلات بوسیله کد کامپیوتری "لیزر" حل گشته شکل خروجی قدرت لیزر بر حسب زمان ، انرژی کل لیزر و سایر پارامترهای تجربی را بدست می دهد . این نتایج تئوری با نتایج عملی در مورد یک لیزر گاز کربنیک با تخلیه عرضی در فشار یک اتمسفر و قدرت ۵ مگاوات که تماما "در همین بخش ساخته شده است مقایسه می شود . جزئیات طرح و ساخت این لیزر نیز بتفصیل ارائه گشته است . تغییرات بدست آمده بر حسب نسبت گازهای مخلوط ، ولتاژ تخلیه و سایر پارامترهای عملی با پیش بینی تئوری مقایسه می شود . این مقایسه نشان می دهد که مدل تئوری مذکور از کیفیت خوبی برخوردار بوده قادر است شرایط فیزیکی و عملی را با دقت قابل توجهی پیش بینی کند .

مقدمه

از اختراع لیزر بیش از بیست و چند سال نمی گذرد . با وجود این ، لیزر از نظر تکنولوژی اقتصادی و صنعتی پیشرفت بسیار چشمگیری داشته و در کلیه ابعاد روزمره زندگی امروزه نفوذ کرده است . کاربردهای فراوان آن از تمام نگاری و مخابرات گرفته ، سوراخکاری و برش در صنایع ، جراحی ، تمام نگاری میکروسکپی ، تعمیر منای دندان در پزشکی ، غنی کردن اورانیوم ، جداسازی پلوتونیوم و فیوژن بالیزر و کاربردهای فراوان تحقیقاتی آن در علوم همه مویدان نظراست که لیزریکی از ابزار لازم و حتمی تمدن فردا خواهد بود .

از بین انواع لیزرهای مختلف که تا کنون ساخته شده اند ، سهولت نسبی تحریک گازهای فعال ، امکان ایجاد قدرت نوری ضربه‌ای و مداوم بسیار زیاد و بالاخره بهره نوری بسیار خوب باعث شده است که لیزر گاز کربنیک بعنوان یکی از مهمترین انواع لیزر گازی شناخته شود .

*طراحی و ساخت این لیزر توسط آقایان دکتر رضا خوانساری موسوی و علی اصغری اچقی در سالهای ۱۳۵۶-۱۳۵۷ در بخش لیزر انجام پذیرفته است .

تحریک این لیزر باروشهای گوناگون از قبیل تخلیه الکتریکی طولی مداوم در فشار کم و تخلیه عرضی ضربانی در فشاراتمسفر (TEA) انجام می‌گیرد. در روش اخیر برای ایجاد تخلیه الکتریکی از تزریق پرتو الکترونی در مخلوط گازی لیزر در امتداد عمود بر محور لیزر استفاده می‌گردد. پرتوی الکترونی در اثر برخورد با گازهای محیط آن رایونیزه کرده، الکترونهای ثانویه حاصل از این برخورد با انرژی حدود چند الکترون ولت بوجود می‌آید. این الکترونها در میدان الکتریکی لیزر شتاب یافته ضمن پایدار نمودن عمل تخلیه الکتریکی موجب تحریک ترازهای ارتعاشی مولکولهای گاز کربنیک و ازت در رژیم مادون قرمز می‌گردد. این عمل در نهایت موجب ایجاد وارونی انبوهی (Population Inversion) در گاز کربنیک گشته و پرتوهای لیزر در طول موجهای بین ۹/۴ تا ۱۰/۶ میکرون گسیل می‌شوند.

در قسمت دوم این مقاله جزئیات طرح و ساختمان و طرز کار یک لیزر گاز کربنیک با تخلیه عرضی و فشاراتمسفر از نوع (TEA) که تماماً "در لابراتوار لیزر ساخته شده است ارائه می‌شود. این لیزر از دو قسمت مشابه هر کدام با حجم فعال $45 \times 4 \times 4 / 5 \text{ cm}^3$ تشکیل شده است. تحریک بوسیله فتو یونیزاسیون و از طریق جرقه الکتریکی اعمال می‌شود. طول کاواک لیزر ۱۶۰ سانتیمتر است و از یک آئینه با پوشش طلا، شعاع انحنای ۱۰ متر و ضریب انعکاس نزدیک به ۱۰۰٪ و یک آئینه مسطح ژرمانیوم با ضریب انعکاس ۴۰٪ تشکیل شده است. ولتاژ اعمال شده بین دو الکتروود لیزر ۳۳ کیلوولت، نسبت گازهای مخلوط ورودی $(\text{He} : \text{N}_2 : \text{CO}_2) 40 : 3 : 2$ و چگالی انرژی تحریک ۵۰ ژول بر لیتر براتمسفر می‌باشد. انرژی خروجی بدست آمده ۵ ژول و طول زمانی ضربانی خروجی در حدود یک میکروثانیه است. قدرت لحظه‌ای لیزر در قله ضربان خروجی از ۵ مگاوات تجاوز می‌کند.

در قسمت سوم سیستم لیزر گاز کربنیک از نظر تئوری مورد تجزیه و تحلیل قرار گرفته ترازهای انرژی ارتعاشی و گردش مولکول سه‌اتمی خطی CO_2 و جزئیات طیفی و همچنین نحوه تحریک آن در اثر تخلیه الکتریکی در حضور مولکولهای N_2 و اتمهای He بررسی می‌شود. فرمولها و قوانین فیزیکی مورد نظر ارائه گشته، نتایج بدست آمده بصورت یک سیستم معادلات دیفرانسیل که در آن از پنج درجه حرارت مختلف جهت مشخص نمودن حالت انرژی سیستم استفاده شده است عرضه می‌شود. سپس چگونگی استفاده عملی از این مدل تئوری و معادلات بدست آمده بوسیله برنامه کامپیوتری توضیح داده می‌شود.

در خاتمه در قسمت چهارم نتایج آزمایشات عملی بدست آمده با نتایج برنامه کامپیوتری در حالات مختلف تجربی مقایسه می‌شود. انطباق نتایج در حالات مختلف نشان می‌دهد که مدل عرضه شده قادر است حقایق فیزیکی را تا اندازه زیادی تشریح نموده نتایج عملی را با دقت قابل قبولی پیش بینی کند.

طرح و ساختمان لیزر ضربانی

آزمایشات متعدد با لیزر گاز کربنیک نشان داده است که بهترین نقطه کار برای این لیزر از نظر فشار و ولتاژ اعمال شده در محدوده E/P (نسبت میدان الکتریکی به فشار) ۱۰ تا ۵۰ ولت بر سانتیمتر بر توری باشد. برای تخلیه‌ای بطول ۱ متر و فشار ۸۰۰ تور (تخلیه طولی) ولتاژی

نزدیک به 8×10^5 تا 4×10^6 ولت لازم است تا عامل لیزر بخوبی انجام پذیرد. نگهداری حالت پایدار در چنین تخلیه‌ای (تخلیه پایدار در فشار بالا یا Glow Discharge) بدون داشتن جرقه عملاً "مشکل است و عمل کرد لیزرهای CO_2 در چنین فشار بالائی تنها بروش پالسی امکان پذیر می باشد. بعلاوه ولتاژهای نزدیک به ناحیه مگاوات تحت شرایط پالسی خیلی آسانتر از حالت پیوسته قابل حصول می باشد (توسط ترانسفورمرهای پالسی). به کمک ژنراتور Marx Bank می توان ولتاژی حدود $5/0$ مگاوات را بصورت ضربانی تولید نمود، ولی حصول به چنین ولتاژ بالائی عملاً " (حتی بگونه پالسی) با اشکالات فنی بسیار زیادی مواجه است و محدودیتهای تکنیکی، این کار را مشکل یا غیر ممکن می سازد. مسائل فوق باعث شده است که در لیزرهای گازی با فشار بالا تحریک از جهت عرضی مورد توجه و آزمایش قرار گیرد. در این حالت تخلیه الکتریکی در عرض محافظه لیزر انجام می گیرد. بدین ترتیب فاصله بین الکترودها از چندین متر که اساس تحریک لیزرها در طول محورهاست به حدود چند سانتیمتر در عرض تقلیل می یابد. این تکنیک باعث سادگی حصول و ارزانی قیمت لیزرهای پالسی TEA با انرژی اپتیکی تا چندین مگاوات و حتی جیگاوات شد و با توجه به کاربرد وسیع لیزرهای CO_2 گام موثری در استفاده بیشتر از آن گردید. چنین لیزرهایی که در فشار اتمسفر و بروش تحریک غیر مداوم عمل می کنند، به لیزرهای TEA موسومند (Transversely Excited Atmospheric) ، برای عمل تخلیه عرضی تولیدیک تخلیه الکتریکی درخشان پایدار و همگن فضائی (Glow) در فشار بالا ضروریست بطوریکه در این هنگام انرژی الکترونها ۱ تا ۲ الکترون ولت و حرارت گاز در حدود 300 درجه کلوین می باشد. در چنین تخلیه‌ای افزایش مستقیم حجم تخلیه، فشار گازها و انرژی ورودی باعث ناپایداری تخلیه و ناهماهنگی فضائی و حتی تخلیه مقطعی یا جرقه (ARC) می شود. این امر به نوبه خود سبب می شود که انرژی خروجی لیزر کاهش یافته کیفیت اپتیکی اشعه لیزر خراب شود.

برای از بین بردن اشکالات فوق از دوروش استفاده می شود: ۱- در حالتی که نسبت میدان الکتریکی E در پلازما به فشار گاز p زیاد باشد از یک پالس سریع برای تحریک و تخلیه پلازما استفاده می شود ۲- وقتی نسبت میدان الکتریکی به فشار گاز کم باشد از یک یونیزاسیون اولیه که قبل از تخلیه اصلی انجام می گیرد استفاده می شود.

حالت اول - انرژی الکتریکی ذخیره شده در خازن بایستی بصورت سیلی ناگهانی از الکترون در زمانی کوتاه و بصورت یکنواخت تخلیه شود. این عمل باید قبل از اینکه تخلیه به صورت مقطعی با جرقه درآید انجام شود. اولین لیزرهای (TEA) با تخلیه سوزنی که در آن الکترودها بصورت دو مارپیچ مقابل هم قرار دارند، نمونه‌ای از این حالت هستند که تخلیه بصورت عرضی و هماهنگ در طول لیزر انجام می گیرد. همگنی فضائی پرتو خروجی این لیزرها از کیفیت خوبی برخوردار نیست.

حالت دوم - در این حالت دو نوع روش یونیزاسیون وجود دارد که یکی روش تخلیه بصورت دوپل و دیگری توسط اشعه الکترونی است.

تحریک لیزرهای ملکولی با روش اول با اشکالاتی همراه است زیرا رابطه E/N (چگالی اتمها $N =$) را بایستی طوری انتخاب کرد تا حد متعادلی بین یونیزاسیون باراندمان بالا و تحریک ارتعاش داخل گاز ایجاد گردد.

در روش دوم این مسئله کلاً وجود ندارد زیرا دوفاکتور فوق از یکدیگر مجزای شود (یعنی بطور جداگانه کنترل می شوند) . استفاده از روش دوم باعث شده تا بتوان مقدار انرژی بیشتری از حجم مشابه ایجاد نمود که نهایتاً " منجر به راندمان و کیفیت اپتیکی بهتر گشته باعث افزایش انرژی خروجی لیزر می گردد .

اشکالی که در روش اول مطرح می شود بیشتر باین صورت حل می گردد ، که از امواج ماوراء بنفش (UV) جهت یونیزاسیون اولیه استفاده شود و باینکه از یک اشعه الکترونی پرا انرژی در نزدیکی کاتد قبل از انجام تخلیه اصلی استفاده گردد ، که هر دو مهیا کننده مخلوط گازی از طریق ایجاد یونیزاسیون اولیه قبل از انجام تخلیه اصلی می باشند .

برای استفاده از UV روشهای گوناگون از قبیل ایجاد جرقه بین سوزنهای الکتروود یا شبکه کاتد و یا استفاده از جرقه های مجزی و یا استفاده از فلاش لامپ بکار گرفته می شود .

در لیزر TEA باروش تحریک عرضی (Transverse Excitation) از یک مخلوط گازی شامل He, N_2, CO_2 استفاده می شود . تحریک عرضی اجازه می دهد تا مقدار زیادی انرژی در داخل گاز در فشار یک اتمسفر ریخته شود ، در حالیکه ولتاژی در شان این مخلوط اعمال می گردد . وقتی گازها در معرض دانسیته بالای جریان در فشاراتمسفر قرار داده می شوند پلاسمائی ناپایدار تشکیل می گردد که تمایل به فشرده شدن در کانال باریکی از قوس الکتریکی دارد که موسوم به قوس یا ARC های درخشانده هستند .

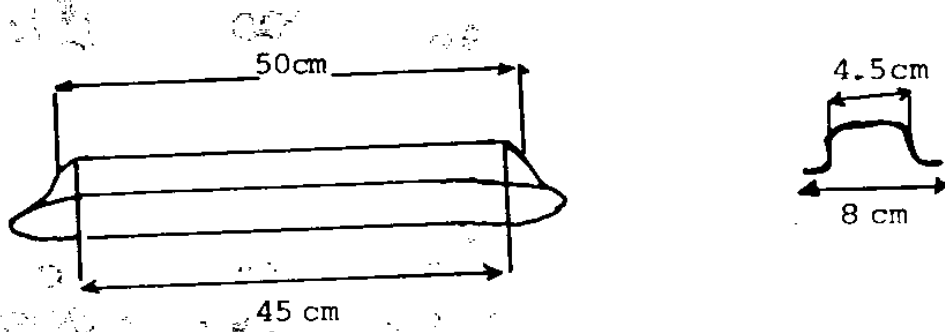
وقتی این عمل اتفاق بیفتد انرژی الکتریکی بطور بی شماری از بین می رود که نهایتاً " باعث کاهش شدید انرژی خروجی لیزر می گردد . قوس عمل لیزر را محدود می سازد .

لیزر TEA ساخته شده در این مرکز

این لیزر از نوع لیزر هائیت که سیستم ایجاد کننده UV در آن بطریق جرقه بین سوزنهای الکتروود یا کاتد برقرار می شود . حجم فعال این لیزر یعنی فضای بین سراسر الکتروودها $90 \times 4 / 5 \times 4$ سانتیمتر مکعب یا حدوداً $7/3$ لیتر می باشد که داخل لوله ای از جنس پلکسی گلاس قرار دارد . طول حفره نوری این لیزر ۱۶۰ سانت بوده و دو انتهای آن بوسیله دو آئینه یکی با انعکاس ۱۰۰% و شعاع تقعر ۱۰ متر و دیگری با انعکاس ۴۰% از جنس ژرمانیوم بصورت مسطح ، محدود می گردد . سیستم الکتروودهای آن دو مرحله ای بوده (هر کدام بطول فعال ۴۵ سانتیمتر) که با ولتاژ ۳۳ کیلو ولت تخلیه انجام می پذیرد و از سه قسمت آند ، سوزنهای کاتد و شبکه کاتد تشکیل یافته است . انرژی خروجی این لیزر برای هر پالس یک میکروثانیه ای ۵ ژول می باشد که توانی معادل ۵ مگاوات را داراست .

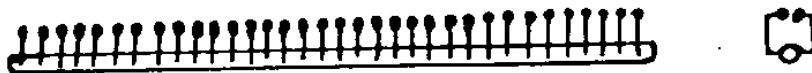
سیستم تخلیه الکتریکی

در طرح این لیزر چندین روش برای کاهش جرقه بکار گرفته شده است . یکی شکل هندسی الکتروودهاست که یک میدان الکتریکی یکنواخت در ناحیه الکتروودهای داخلی برقرار می سازد (شکل ۱) . دوم سرعت تخلیه خازن است که بایک جریان پالس کوتاه و مربع از تشکیل جرقه



شکل ۱- الکترودهای لیزر TEA کدار آلومسوم (آند) و صفحه فلزی مشک (کاتد) ساخته شده است.

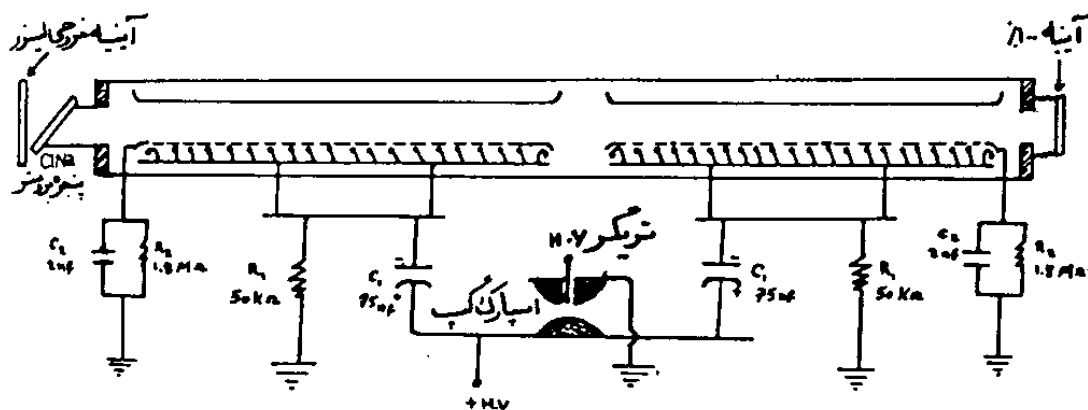
جلوگیری بعمل می‌آورد. سوم سیستم پیش‌یونش (Preionization) است که یک درجه بکنواخت از یونیزاسیون رادرسرا سر حجم تخلیه قبل از جریان پالس اصلی ایجاد می‌کند. شکل هندسی الکترودها گرچه خیلی مهم است ولی در عمل نمی‌توان این الکترودها را مطابق باتئوری کلاسیک مربوطه ساخت. با این وجود طی آزمایشات بالیزر این مسئله بخوبی حل شده که صاف و صیقلی بودن سطح کاتد و آند و یکسان بودن فاصله سوزن‌ها از کاتد از ضرورت‌های ایجاد و نگهداری یک تخلیه الکتریکی همگن و بکنواخت است (شکل ۲).



شکل ۲- ساختمان سوزن‌های کاتد.

پالس الکتریکی و نتیجتاً "تخلیه الکتریکی می‌تواند بطور مناسب به سه مرحله تقسیم شود، مرحله فوق ولتاژ (Overvoltage)، مرحله پیش یونش و مرحله تخلیه اصلی. پالس تخلیه با آتش کردن اسپارک گپ شروع می‌شود، که آن باعث افتادن ولتاژ روی گوی تریگر می‌شود (شکل ۳). چون گاز در این حالت غیرفعال است هیچگونه انتقال یا هدایتی بین الکترودهای اصلی لیزر برقرار نمی‌شود. ولتاژ اسپارک گپ بیشتر از ولتاژ شکست DC شده و اسپارک گپ بطور بکنواخت می‌شکند. مرحله فوق رافوق ولتاژ می‌نامند زیرا ولتاژ اعمال شده مافوق ولتاژ لازم جهت شکست گازی باشد، مرحله یونیزاسیون اولیه موقعی شروع می‌شود که تخلیه بین سوزن‌ها

وبشکه کاتد باعث شارژ خازن کاتد شده و یونیزاسیون را تولید کند. در این مرحله یک جرقه از سوی سوزنهای الکتروود کاتد به کاتدمشبک لیزر آماده می‌گردد تا به پالس جریان اصلی جواب دهد. زمان مرحله جریان اصلی توسط ثابت های الکتریکی مدار تخلیه تعیین می‌گردد. و بایستی زمان پالس را آنقدر کوتاه کنیم که مجال ایجاد قوس الکتریکی ARC در محفظه لیزر نباشد.



شکل ۳ - ساختمان کلی لیزر TEA و مدار الکتریکی مربوطه.

ساخت الکتروودها

طرح الکتروودهای این سیستم بر اساس مدل روگوسکی (Rogowski) انتخاب شده است. در میدانهای الکتریکی یکنواخت لازم است از الکترودهائی باشکلی ویژه استفاده شود، بطوریکه این گونه الکتروودها بایستی در نزدیکی محور خود ناحیه یکنواختی از میدان الکتریکی را ایجاد نمایند. در جائیکه میدان از حالت یکنواخت خارج شود عمل تخلیه در همان ناحیه اتفاق می‌افتد در حالیکه در قسمتهای دیگر آن تخلیه‌ای نخواهیم داشت.

شکل کلی و شعاع انحناى بیشتر الکتروودها تجربی بوده و دارای سطح تختی هستند که دو لبه‌های آن بوسیله سطحی خمیده محدود شده‌اند (شکل ۱) شعاع انحناى قسمتهای کناری ابتدا زیاد ولی بتدریج هرچه به لبه نزدیکتر می‌شود کمتر می‌شود. برای یک الکتروود مهمترین مسائل عبارتند از: الف - ابعاد سطح تخت میانی ب - فرمول ناحیه خمیده. در لیزرهای با فشار بالا معمولاً "از الکتروودهای روگوسکی (۱) یا چانگ (۲) استفاده می‌شود. اخیراً" فرمولهای جدیدتری نیز برای نیمرخ سطح الکتروود ارائه شده‌اند (۳).

فرم الکتروودی که در مرکز ساخته شده با استفاده از تجربه و مدل روگوسکی بوده که بر اساس آن قالبی توپراز سرب مطابق شکل ۱ با لبه اضافی ۱/۵ سانتیمتر ریخته شده که بوسیله دستگاه تراش زوایا و خمیدگیهای آن با دقت مطابق بر منحنی روگوسکی ساخته شده است. برای ساخت آند، ورق استیل به ضخامت ۲ میلیمتر را گرفته و بر روی این قالب پرس نموده ایم شبکه کاتد

این سیستم نیز با استفاده از آهن مشبک به ضخامت ۲ میلی‌متر با استفاده از همان قالب پرس شده است. بعد از پرس، ابتدا با سوهان و سپس سمباده نرم قسمت‌های ناهموار و نقاط تیز دو الکترود صاف می‌شود تا از ایجاد جرقه‌های ناخواسته در سیستم جلوگیری شود (شکل ۱).

بعد از آماده شدن آند و شبکه، سوزن‌های کاتد را تهیه می‌کنیم بدین ترتیب که لوله‌ای از جنس مس رابه قطر ۱/۵ سانتی‌متر انتخاب کرده دور دیف سوراخ در طول آن ایجاد می‌کنیم (شکل ۲) فاصله سوراخ‌های هر دیف از یکدیگر ۱۵ میلی‌متر و فاصله دور دیف از یکدیگر نیز ۱۵ میلی‌متر می‌باشد. قطر هر سوراخ ۲ میلی‌متر انتخاب شده تا میله‌هایی از جنس استیل بهمان قطر در داخل آن تعبیه و جوش داده شود. در انتهای هر مفتول استیل یک عدد ساچمه به قطر ۳ میلی‌متر جوش داده می‌شود تا مسئله نوک‌های تیز این سوزن‌ها در ولتاژ بالا مطرح نباشد (شکل ۲).

مهمترین مسئله در این مورد هم سطح بودن سرهای این سوزن‌ها در سیستم می‌باشد که بایستی نسبت به شبکه یک فاصله کوتاه و در عین حال یکسان داشته باشند در ضمن برای اینکه این فاصله ثابت حفظ شود از دو رابط عایق برای اتصال شبکه به سوزن‌ها استفاده می‌شود تا سیستم کاتد و شبکه یکپارچه گردد. و این مسئله عیناً "در مورد فاصله شبکه تا آند نیز صدق می‌کند، لذا ارتباط این دو سیستم نیز با یکدیگر توسط عایق‌های نگهدارنده حفظ می‌شود.

محفظه لیزر اصلی

همان‌طور که قبلاً اشاره شده الکترودها در داخل یک لوله از جنس پلکسی به قطر داخلی ۱۵ و ضخامت ۱ cm قرار می‌گیرند که این لوله توسط پایه‌هایی به کف جعبه اصلی لیزر ثابت می‌شوند. در داخل این جعبه به ابعاد ۱۴۰×۴۰×۳۵ سانتی‌متر لوله لیزر، خازن‌ها، تریگرواجزای الکترونیکی دیگر علاوه لوله‌های مربوط به گاز و خلا قرار می‌گیرند. این سیستم طوری طرح‌ریزی شده تا از ایجاد تشت‌های الکتریکی ناخواسته و همین‌طور آند و کاتانس اضافی جلوگیری شود. برای کاهش آند و کاتانس از نوارها و صفحات مس بجای رابط‌های سیمی استفاده شده است.

شکل ۳ شمای کامل لیزر را از لحاظ سیستم الکترودها و مدار الکترونیکی نشان می‌دهد.

تریگر

تریگرای کلیدگازی از محفظه‌ای از جنس پلکسی تشکیل شده که در دو طرف آن الکترودهای مثبت و منفی تعبیه شده‌اند، داخل این محفظه، گاز از N_2 فرستاده می‌شود که با فشار این گاز ولتاژ لازم جهت عمل تریگر کنترل می‌شود زیرا هر قدر فشار گاز بیشتر باشد ولتاژ لازم جهت شکست آن بیشتر خواهد بود. همچنین این دستگاه دارای یک وسیله دیگر جهت برآورد آختن عمل اتصال می‌باشد و آن عبارتست از یک شمع اتومبیل که ولتاژی حدود ۴ کیلوولت بر آن اعمال می‌گردد. عمل جرقه زدن این شمع باعث یونیزه شدن جزئی محفظه تریگرمی گردد که نتیجتاً باعث شکستن ولتاژ ۳۳ KV خازن در داخل آن و یونیزه شدن کامل و اتصال کوتاه در زمان محدود شارژ خازن خواهد شد.

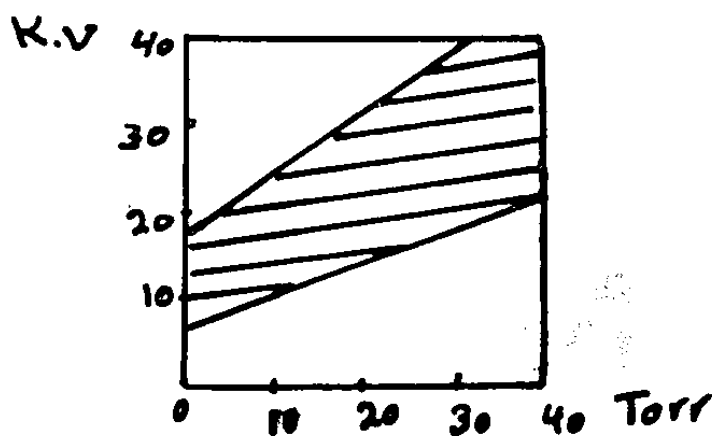
این تریگر دارای خصوصیات ویژه زیر می‌باشد:

مقایسه مشخصات یک لیزرگاز کربنیک با ...

انرژی پالس	۱۴ کیلوژول
جریان حداکثر	۲۰۰ کیلوآمپر
انتقال بار الکتریکی	۲ کلمب
تعداد پالسهای تکراری	۱۰۰ پالس در ثانیه
قدرت متوسط	۲ کیلووات

در مورد حداکثر ولتاژ باید توجه داشت با اعمال ولتاژ بیشتر از حد معمول، تخلیه الکتریکی در خارج از محفظه اتفاق خواهد افتاد که باید طرح این تریگر بر حسب قدرت و ولتاژ لیزر انجام پذیرد. و اگر چنین اتفاقی افتاد برای مهار کردن جرقه در خارج از محفظه باید کلیدگازی در داخل روغن یا گاز فرئون (Freon) و یا هر گاز غیر مشتعل با فشار زیاد قرار داده شود.

شکل ۴ منحنی محدوده عمل کلیدی می باشد، بدین ترتیب که محور عمودی نشانگر ولتاژ و



شکل ۴ - منحنی ولتاژ شکست کلید سریع اسپارک گپ (Spark Gap) بر حسب فشار برای گازازت.

محور افقی نمایانگر فشار داخل محفظه می باشد.

اگر ولتاژ بجای باشد که بر خط بالائی منطبق باشد بدون فرمان می شکند و اگر بر خط پائینی منطبق باشد با عمل فرمان هم نمی شکند پس برای عمل بایستی ولتاژ و فشار را در محدوده ها شور خورده انتخاب نمود.

طرز کار مدار الکتریکی

همانطور که در بالا اشاره شد بعد از اینکه تریگر عمل نمود ولتاژ ۳۳ کیلوولت خازن به الکترودهای لیزر اعمال شده باعث تخلیه اصلی محفظه لیزر می گردد. در ابتدا خازنی که برای این کاربرد گرفته شده بود دارای ظرفیت $1 \mu F$ و اندوکتانس بالائی بود که باعث بالاتر رفتن زمان تخلیه خازن می گشت که این خود باعث بروز اشکالاتی از لحاظ غیر همگن شدن تخلیه و ایجاد جرقه در سیستم لیزر می شد. لذا خازنهای مربوطه با خازنهای با ظرفیت $0.075 \mu F$ با اندوکتانس پائین تر تعویض شدند.

نقش مقاومت R_1 در مدار کببین کاتدو زمین متصل شده است ($R_1 = 50 \text{ K}\Omega$) بدین قرار است که با عبور جریان از طریق زمین خازن C_1 را شارژ می کند، اگر این مقاومت وجود نداشته باشد یعنی باز باشد دیگر مسیری برای شارژ خازن وجود نخواهد داشت و اگر بسته باشد یعنی بصورت اتصال کوتاه عمل کند یا بطور کلی مقاومت آن از مقاومت الکترودهای مخلوط گازی بهنگام تخلیه کمتر باشد انرژی خازن در آن تخلیه خواهد شد و صرف تحریک گازها نخواهد گشت. زمان شارژ این خازن بقراری است:

$$R_1 C_1 = 50 \text{ K}\Omega \times 0.075 \text{ }\mu\text{F} = 3.75 \times 10^{-3} \text{ ثانیه}$$

در واقع مقدار مقاومت R_1 را بایستی طوری تعیین نمود که نه آنقدر زیاد باشد تا زمان شارژ خازن را طولانی سازد و نه آنقدر کم انتخاب شود که باعث شود عمل تخلیه الکتریکی بین سوزنها و شبکه کاتد انجام نشود و با اینکه بطور ناقص صورت پذیرد. چنانچه گفته شد در این صورت خازن بدلیل کم بودن مقاومت R_1 نسبت به مقاومت فضای بین سوزنها و شبکه کاتد در این مقاومت تخلیه گشته باعث می شود تا یونیزاسیون اولیه و متعاقب آن یونیزاسیون ثانویه که تخلیه اصلی را ایجاد می کند انجام نگردد. برای ایجاد پیش یونش (Preionization) از خازن و مقاومت C_2 و R_2 استفاده می شود.

این اجزاء در سیستم پیش یونش یا یونیزاسیون اولیه نقش اساسی را بازی می کنند بدین ترتیب که پس از شکستن ولتاژ خازن C_1 بین سوزنها و شبکه، شبکه توسط خازن C_2 با ثابت زمانی $R_2 C_2$ دارای پتانسیل ۳۳ کیلوولت می گردد، لیکن بدلیل وجود مقاومت زیاد $R_2 = 1/8 \text{ M}\Omega$ تخلیه خازن C_1 از طریق فضای بین شبکه و کاتد که متصل به زمین است صورت می پذیرد که این مرحله شروع تخلیه جریان اصلی در سیستم لیزر است.

همانطور که شکل ۳ طرح کلی لیزر TEA نشان می دهد دو سیستم $R_2 C_2$ و دو خازن و مقاومت $R_1 C_1$ داریم که این برای یکنواختی و همگن شدن جریان تخلیه اصلی در سراسر حجم فعال لیزر می باشد در شکل (۵) فرم ساخته شده آن در مرکز آورده شده.

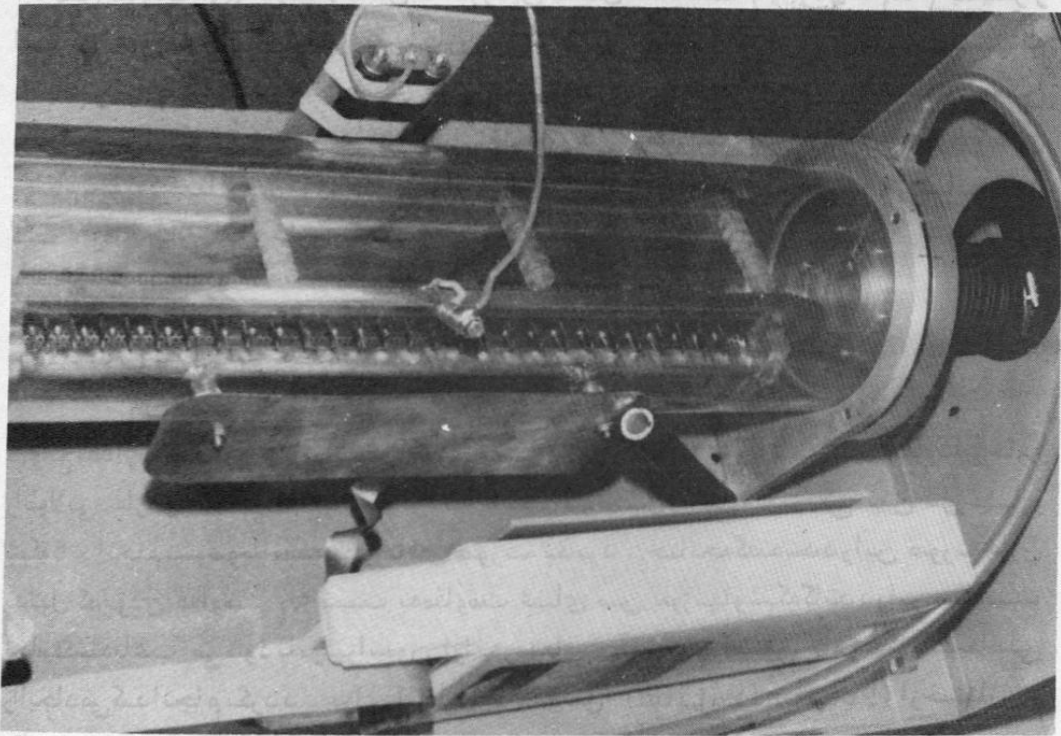
علت استفاده از دو خازن سری در سیستم پیش یونش در دسترس نبودن خازن با ولتاژ ۴۰ کیلوولت می باشد که معادل آن بصورت زیر حاصل می شود.

$$C_2 = \frac{0.001 \text{ }\mu\text{F}}{2} = 0.5 \times 10^{-3} \text{ }\mu\text{F} = 500 \text{ pF}, \quad 40 \text{ KV}$$

ثابت زمانی مدار پیش یونش برابر است با:

$$R_2 C_2 = 1/8 \times 10^6 \times 0.5 \times 10^{-9} = 0.9 \times 10^{-3} \text{ ثانیه} \approx 1 \text{ msec}$$

در یک لیزر پالسی باید ثابت زمانی مدار تخلیه طوری انتخاب شود تا مجال تشکیل یک جرقه قبل از انجام عمل تخلیه داده نشود. و این کاملاً روشن است که وضع هندسی لیزر و مخلوط گازها تماماً تاثیر قابل توجهی در موفقیت و تکمیل این مدار تخلیه خواهند داشت.



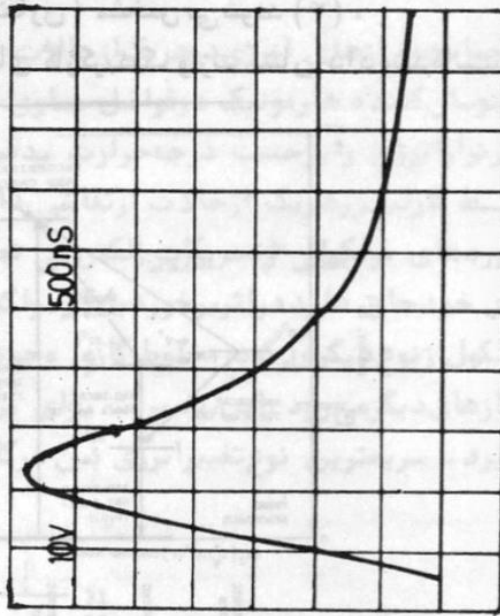
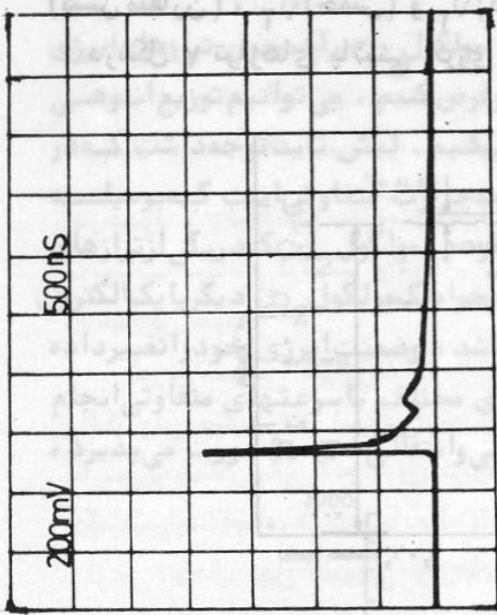
شکل ۵- عکس قسمتی از محفظه لیزر TEA که سوزنها و شبکه کاتود را نشان می دهد.

بهترین نسبت حجمی مخلوط گازهای $\text{He-N}_2\text{-CO}_2$ برای بهترین قدرت خروجی بدست آمده این لیزر برترتیب ۲ : ۳ : ۴۰ می باشد. در این نسبت گازها، انرژی خروجی حدود ۵ ژول از لیزر فوق بدست می آید. سطح مقطع پرتولیزر دایره ای به قطر ۳ سانتیمتر (قطر داخلی پنجره بروستر) می باشد. شکل زمانی ضربان لیزر بر حسب درصد گازهای مخلوط و جریان عبوری از داخل مخلوط گازی در شکل ۶ نشان داده شده است. ۳- تئوری و مدل سازی کامپیوتری

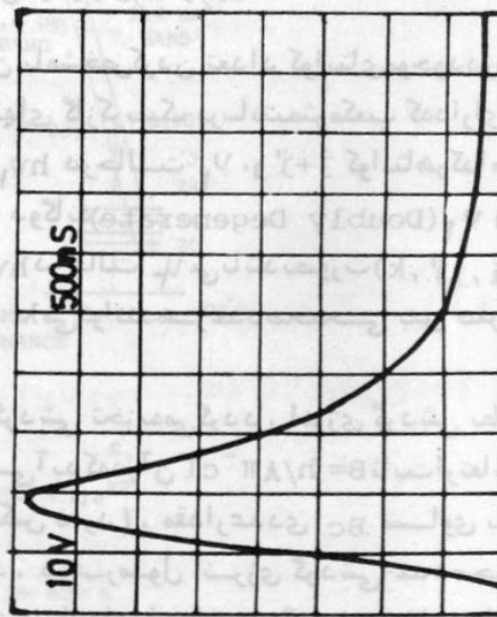
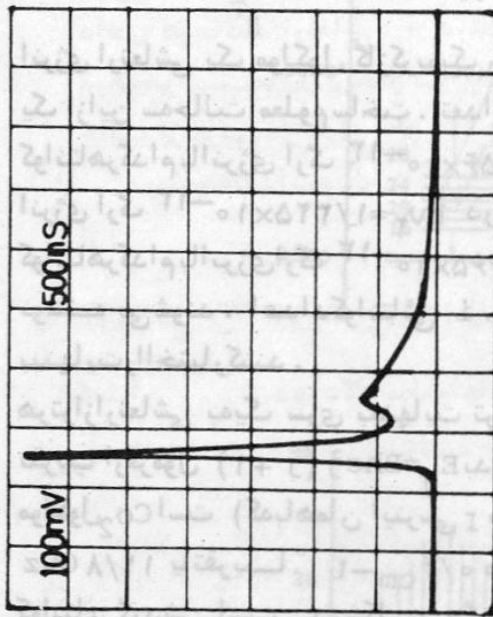
ترازهای انرژی ارتعاشی و گردشی مولکول CO_2 در ماخذ و مقالات متعدد (۴ تا ۷) بتفصیل مورد تجزیه و تحلیل قرار گرفته و مدل های مختلف (۸ تا ۱۰) کامپیوتری برای لیزر گاز کربنیک ارائه گشته اند. در این قسمت این اطلاعات را بصورت خلاصه مرور کرده و مدل تئوری که در قسمتهای بعدی مورد استفاده قرار می گیرد عرضه می شود. کلیات طیفی مولکول CO_2 در بند ۳-۱، طریقه احتساب جمعیت ترازهای انرژی در بند ۳-۲، معادلاتی که بر تغییرات این جمعیتها حاکمند در بند ۳-۳ و بالاخره مدل کامپیوتری در بند ۳-۴ ارائه گشته اند.

۳-۱- ترازهای انرژی

مولکول سه اتمی خطی CO_2 دارای سه حالت ارتعاشی مستقل می باشد که با حروف ν_1



(b)



(a)

شکل ۶ - تغییرات زمانی خروجی لیزر TEA (بالا) و جریان عبوری از مخلوط گازی (پائین)

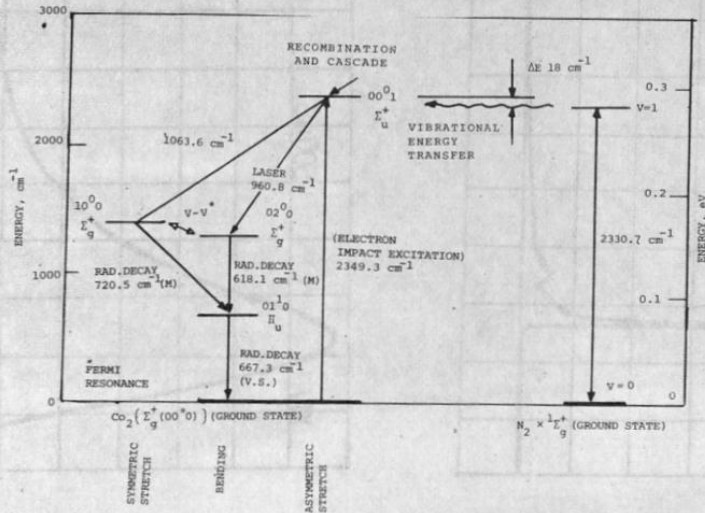
برای دو ترکیب متفاوت گازها (اندازه‌گیری تجربی)

a) $\text{He}, \text{Co}_2, \text{N}_2 = (0.14 : 1/0.5 : 0.7)$

b) $\text{He}, \text{Co}_2, \text{N}_2 = (14 : 1/0.5 : 1/3)$

مقایسه مشخصات یک لیزر گاز کربنیک با ...

(کشش متقارن) ν_1 (خمش) و ν_2 (کشش نامتقارن) مشخص می شوند (۴).
در شکل ۷ ترازهای پائینی انرژی مولکولهای گاز کربنیک و ازت نشان داده شده است.



شکل ۷ - ترازهای ارتعاشی مولکولهای CO_2 و N_2

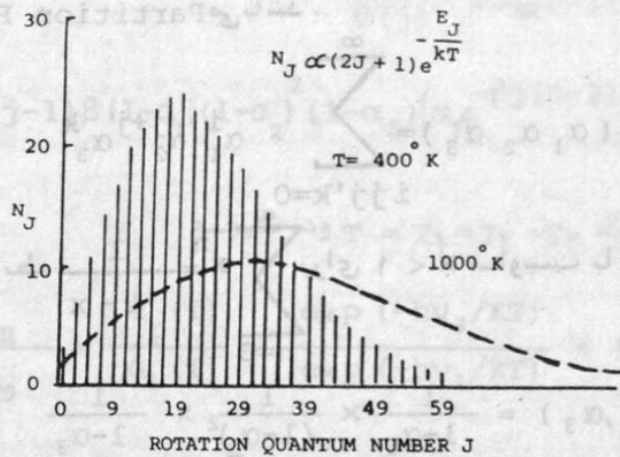
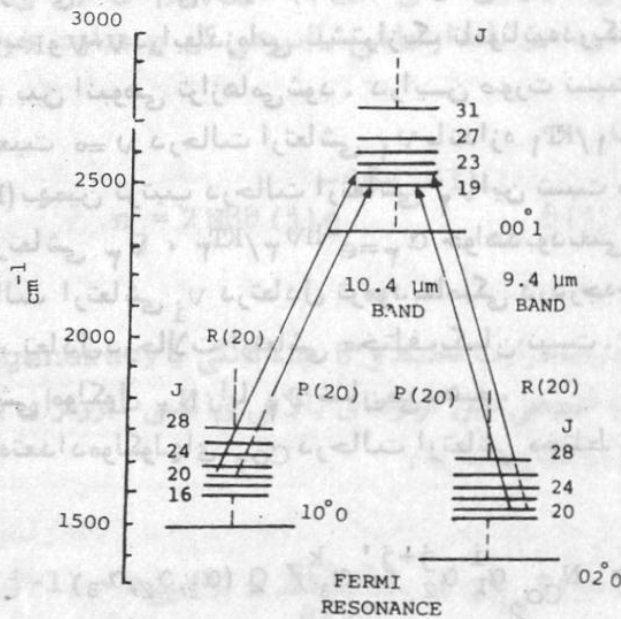
انرژی ارتعاشی یک مولکول گاز کربنیک را می توان با مشخص کردن تعداد کوانتای موجود در هر یک از این سه حالت معلوم ساخت. تعداد مولکولهای گاز کربنیک برسانتیمتر مکعب که دارای i کوانتا هر کدام با انرژی آرگ $h\nu_1 = 2/656 \times 10^{-13}$ در حالت ν_1 و j کوانتا هر کدام با انرژی آرگ $h\nu_2 = 1/325 \times 10^{-13}$ در حالت دوگانه (Doubly Degenerate) ν_2 و k کوانتا هر کدام با انرژی آرگ $h\nu_3 = 4/665 \times 10^{-13}$ در حالت ν_3 می باشد بصورت $N(i, j, k)$ نوشته می شوند. اعداد کوانتائی i, j, k می توانند هر عدد صحیحی بین صفر تا بینهایت را اختیار کنند.

هر تراز ارتعاشی به یک سری بینهایت ترازهای گردش تجزیه می گردد. انرژی گردش بطور تقریب از فرمول $E_j = Bhc(j+1)$ بدست می آید که در آن $B = h/8\pi^2 cT$ ثابت ارتعاشی مولکول CO_2 است (که با همان اینرسی I نسبت عکس دارد). مقدار عددی B مساوی با $11/8 \text{ GHz}$ یا تقریباً 1 cm^{-1} می باشد. در فرمول انرژی گردش j عدد صحیح کوانتای گردش است. در شکل ۸ چگونگی تجزیه ترازهای ارتعاشی به گردش نشان داده شده است.

هر خط طیفی با عدد j مربوط به تراز زیرین مشخص می شود. از آنجا که بدلیل تقارنهای موجود در مولکول CO_2 فقط جهشهای بین ترازهای انرژی با تغییر عدد کوانتائی با اندازه $1 \pm \Delta j$ مقدورند، تراز بالائی باید دارای عدد کوانتائی گردش $1 \pm j$ باشد که اگر علامت مورد نظر منفی باشد خط مذکور را با حرف $P(j)$ و اگر مثبت باشد با $R(j)$ مشخص می نمائیم. بدین ترتیب باند $10/4$ میکرون CO_2 از جهشهای بین تراز پائینی $(j, 1, 0, 0)$ و تراز بالائی $(j+1, 0, 0, 1)$ و باند $9/4$ میکرون آن بین تراز پائینی $(j, 0, 2, 0)$ و ترازهای بالائی $(j+1, 0, 0, 1)$ بدست می آیند.

۳-۲- انبوهی ترازهای انرژی

چنانچه ترازهای انرژی در هر یک از حالات ارتعاشی مولکول CO_2 را همچون ترازهای انرژی یک نوسان کننده هارمونیک در فواصل مساوی از یکدیگر فرض کنیم، می توانیم توزیع انبوهی در هر تراز انرژی را بر حسب درجه حرارت بدقت حساب کنیم. لیکن باید توجه داشت که در شرایط کارلیزر هر یک از حالات ارتعاشی دارای درجه حرارت متفاوتی است که بوسیله برخورد های مولکولی و تحریکات الکترونی تعیین می گردد. مولکول CO_2 که در یکی از ترازهای انرژی خود جای دارد در اثر برخورد با یک مولکول دیگر، خواهد یک مولکول CO_2 دیگری را یک الکترون یا مولکول از نوع دیگری که در مخلوط گازی وجود داشته باشد، وضعیت انرژی خود را تغییر داده به ترازهای دیگری رود. این تغییرات برای برخورد های مختلف با سرعت های متفاوتی انجام می گیرد. سریعترین نوع تغییر انرژی بین حرکات گردشی و انتقالی (R-T) صورت می پذیرد،



شکل ۸ - تجزیه ترازهای ارتعاشی مولکول CO_2 به ترازهای گردشی (بالا) و توزیع انبوهی مولکولهای CO_2 در باند ارتعاشی (۰۰۱) بر حسب عدد کوانتای گردشی J در تعادل حرارتی (پائین)

مقایسه مشخصات یک لیزرگاز کربنیک با ...

باین معنی که مولکول در اثر برخورد انرژی حرکتی مولکول دیگر می‌گیرد و به انرژی گردشی خود می‌افزاید یا بالعکس. این تغییرات با سرعتی در حدود 10^7 P sec^{-1} که در آن فشار کل مخلوط گازی بر حسب تورا است انجام می‌گیرد (۱۱). بعنوان مثال در لیزرگاز کربنیک در فشار یک اتمسفر زمان متوسط برای این تغییرات ثانیه $t = \frac{1}{46 \times 10^7}$ یا در حدود $0/1$ نانوثانیه است. باین دلیل است که می‌توان در زمانهای طولانی تر از $0/1$ نانوثانیه حرکات گردشی و انتقالی را در تعادل فرض کرد و هر دو را بوسیله درجه حرارت محیط مشخص نمود.

توزیع انبوهی در هر یک از ترازهای ارتعاشی نیز بوسیله برخوردهای مولکولی، تحریکات الکترونی و تغییرات انرژی ارتعاشی ($v-v$) که در زمان متوسطی بین 5 تا 10 برابر طولانی تر از تغییرات گردشی انجام می‌پذیرد (۱۲) تعیین می‌شود. بدین ترتیب می‌توان فرض کرد که تغییرات $v-v$ و $R-T$ در ابعاد زمانی بیشتر از یک نانوثانیه در یک اتمسفر فشار منجر به ایجاد نوعی تعادل بین انبوهی ترازهای می‌شود. در این صورت نسبت انبوهی تراز انرژی $v=1$ نسبت به جمعیت $v=0$ در حالت ارتعاشی v_1 با اندازه $\alpha_1 = e^{-hv_1/KT_1}$ که تراست (ثابت بولتزمن K) به همین ترتیب در حالت ارتعاشی v_2 با $\alpha_2 = e^{-hv_2/KT_2}$ و در حالت ارتعاشی v_3 با $\alpha_3 = e^{-hv_3/KT_3}$ خواهد بود یعنی انبوهی ترازهای انرژی در داخل هر حالت ارتعاشی v_i در تعادل ترمودینامیکی در درجه حرارت T_i می‌باشد لیکن این درجه حرارت، تعادل در حالات ارتعاشی مختلف یکسان نیست. به همین ترتیب درجه حرارت حالت ارتعاشی مولکول N_3 را با T_3 نشان می‌دهیم.

در نتیجه تعداد مولکولهای CO_2 در حالت ارتعاشی مختلط (i, j, j', k) عبارتست از:

$$N(i, j, j', k) = N_{\text{CO}_2} \alpha_1^i \alpha_2^{j+j'} \alpha_3^k / Q(\alpha_1, \alpha_2, \alpha_3) \quad (1)$$

که در آن N_{CO_2} تعداد کل مولکولهای CO_2 و $Q(\alpha_1, \alpha_2, \alpha_3)$ تابع توزیع ترمودینامیک یا Partition Function می‌باشد.

$$Q(\alpha_1, \alpha_2, \alpha_3) = \sum_{i, j, j', k=0}^{\infty} \alpha_1^i \alpha_2^{j+j'} \alpha_3^k \quad (2)$$

که با استفاده از رابطه $\sum_{n=0}^{\infty} x^n = \frac{1}{1-x}$ برای $x < 1$ مساویست با:

$$Q(\alpha_1, \alpha_2, \alpha_3) = \frac{1}{1-\alpha_1} \times \frac{1}{(1-\alpha_2)^2} \times \frac{1}{1-\alpha_3} \quad (3)$$

بدین ترتیب:

$$N(i, j, j', k) = N_{\text{CO}_2} \alpha_1^i \alpha_2^{j+j'} \alpha_3^k (1-\alpha_1) (1-\alpha_2)^2 (1-\alpha_3) \quad (4)$$

در نتیجه انبوهی کل تراز ارتعاشی (۰،۰،۱) مساویست با: ($i=0, j=j'=0, k=1$)

$$N_{001} = N_{CO_2} \alpha_3 (1-\alpha_1) (1-\alpha_2)^2 (1-\alpha_3) \quad (5)$$

و انبوهی کل تراز ارتعاشی (۱،۰،۰) مساویست با: ($i=1, j=j'=0, k=0$)

$$N_{100} = N_{CO_2} \alpha_1 (1-\alpha_1) (1-\alpha_2)^2 (1-\alpha_3) \quad (6)$$

چنانچه قبلاً گفته شد انبوهی هر تراز ارتعاشی بین یک سری ترازهای گردشی تقسیم می شود انبوهی هر تراز گردشی j در داخل باند ارتعاشی با انبوهی کل N عبارت خواهد بود از (۵ تا ۸ و ۱۳):

$$n_j = 2N\beta\theta(j)e^{-j\beta(j+1)} \quad \theta(j) = 2j + 1 \quad (7)$$

که در آن $\beta = \frac{h\nu}{KT}$ و T درجه حرارت محیط و θ چندگانگی یا Degeneracy تراز مورد نظراست. در نتیجه اختلاف انبوهی بین ترازهای بالائی و پائینی لیزر برای یک خط طیفی از نوع P در باند ۰۰۱ + ۱۰۰ مساویست با:

$$\begin{aligned} \Delta N &= n_{001}(j-1) - n_{100}(j) \times \frac{\theta(j-1)}{\theta(j)} = 2N_{001} \theta(j-1) \beta e^{-\beta j(j-1)} \\ &\quad - \frac{\theta(j-1)}{\theta(j)} 2N_{001} \theta(j) \beta e^{-\beta j(j+1)} \\ &= 2N_{CO_2} \theta(j-1) \beta (1-\alpha_1) (1-\alpha_2)^2 (1-\alpha_3) \{ \alpha_3 e^{-\beta j(j-1)} - \alpha_1 e^{-\beta j(j+1)} \} \end{aligned} \quad (8)$$

در تراز مندی ترمودینامیک $T = T_1 = T_2 = T_3$ و در نتیجه:

$$\frac{N_{001}}{N_{100}} = \frac{\alpha_p(T)}{\alpha_1(T)} = \frac{\exp(-h\nu_3/KT)}{\exp(-h\nu_1/KT)} < 1 \quad (9)$$

و اختلاف انبوهی ΔN بین ترازهای بالائی و پائینی منفی خواهد بود. ولیکن در شرایط کار لیزر تراز مندی ترمودینامیک بهم خورده در درجات حرارت T, T_1, T_2, T_3 اختلاف خواهند داشت بصورتیکه اختلاف جمعیت ΔN مورد نظر مثبت خواهد شد.

مقایسه مشخصات یک لیزر گاز کربنیک با ...

بدین ترتیب برای مشخص نمودن اختلاف انبوهی نیازبدانستن چهاردرجه حرارت T_1, T_2, T_3, T_4 داریم که برترتیب $\beta, \alpha_1, \alpha_2, \alpha_3$ را مشخص می کند. گذشته از این باید انبوهی تراز $\nu = 1$ مولکول N_2 را نیز مشخص نمود. اگر درجه حرارت تعادل ارتعاشی این مولکول را نیز T_4 بنامیم نسبت جمعیت در تراز $\nu = 1$ نسبت به جمعیت در تراز $\nu = 0$ مساویست با $\alpha_4 = e^{-h\nu_4/KT_4}$ که در آن $h\nu_4 = 2330/7 \text{ cm}^{-1}$ اختلاف انرژی بین دو تراز است. در نتیجه بصورت مشابه با روابط ۱ تا ۶ انبوهی تراز ارتعاشی $\nu = 1$ مولکول N_2 بدست می آید:

$$N(\nu = 1) = \alpha_4 (1 - \alpha_4) N_{N_2}$$

بدین ترتیب انبوهی ترازهای مورد نظر در اندرکنشهای اصلی لیزر بدست می آیند. اکنون باید طریق تراز منتهی انرژی بین این ترازها را بوسیله مطالعه معادلات تغییرات انبوهی تعیین نمائیم.

۳-۳- معادلات تغییرات انرژی حالات ارتعاشی بر حسب زمان (Rate Equations)

برای بررسی چگونگی نقل و انتقال انرژی در بین مولکولهای مخلوط گازی و الکترونهای مولود تخلیه الکتریکی و همچنین توزیع این انرژی در ترازهای مختلف یک مولکول، از مدل تئوری پنج درجه حرارتی (۵، ۸) استفاده می کنیم که بصورت اختصار شامل فرضیات زیر می باشد:

۱- از بین کلیه برخوردهای مولکولی و الکترونی در این مدل به بررسی ده نوع برخورد که در شکل ۹ نشان داده شده است اکتفا می شود.

۲- سطح مقطع تحریک مولکولها توسط الکترونها که با X_1, X_2, X_3, X_4 نشان داده شده اند در این مدل ثابت فرض شده اند در حالیکه در حقیقت تابعی از سرعت مولکول هستند که در کل دارای یک توزیع ماکسولی می باشد.

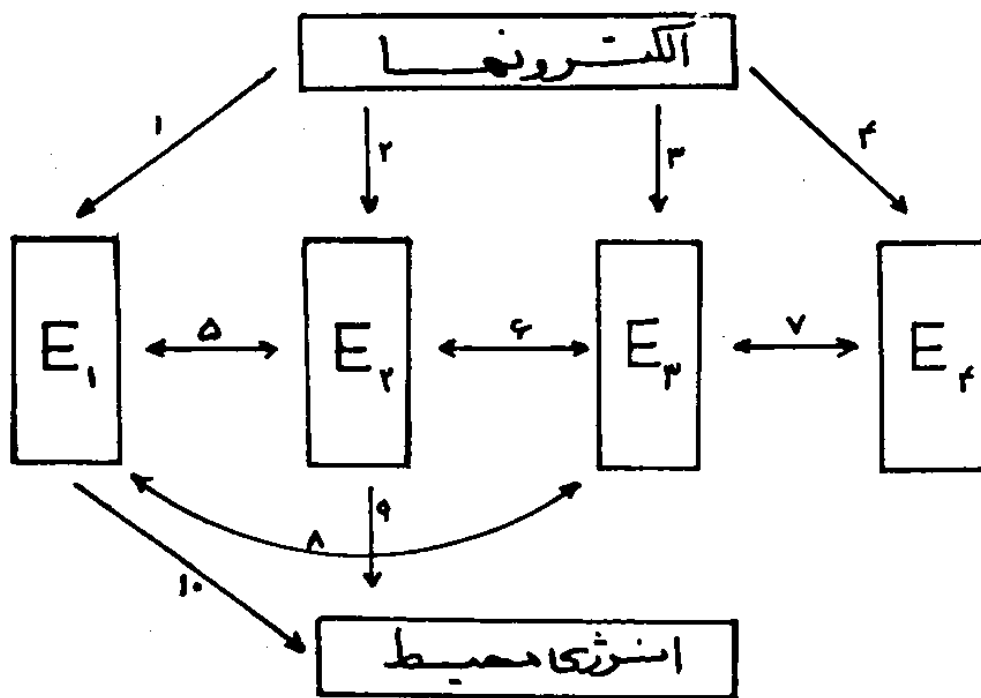
۳- یکی از پنج درجه حرارت مورد نظر در این مدل درجه حرارت محیط T می باشد که در اثر گرم شدن مخلوط گازی بالایی رود، لیکن این امر در مدل حاضر منظور نشده و درجه حرارت محیط ثابت و مساوی با $300^\circ K$ فرض شده است برای دستیابی بیک مدل جامع تر که نکات فوق را نیز در نظر بگیرد می توان به مرجع ۵ رجوع کرد.

نقل و انتقال انرژی بر حسب تغییرات زمانی انرژی ذخیره شده در هر یک از سه حالت ارتعاشی مولکول CO_2 (به ترتیب E_1 برای ارتعاشی متقارن، E_2 برای ارتعاشی خمشی و E_3 برای ارتعاشی نامتقارن) و حالت ارتعاشی متقارن مولکول N_2 (E_4) مورد تجزیه و تحلیل قرار می گیرد. مقادیر E_1 تا E_4 بر حسب ارگ بر سانتیمتر مکعب می باشد و هر کدام از حاصل ضرب انبوهی مربوطه (N_1 تا N_4) در انرژی تراز مورد نظر ($h\nu_1$ تا $h\nu_4$) بدست می آیند. برای تغییرات زمانی چگالیهای انرژی ارتعاشی E_1 تا E_4 چهار معادله دیفرانسیل نوشته می شود. اولین معادله مربوط به چگالی انرژی E_1 در حالت ارتعاشی متقارن مولکول CO_2 می باشد:

$$\frac{dE_1}{dt} = N_e(t) N_{CO_2} h\nu_1 X_1 + \nu_1 \Delta N W I(t) + \frac{h\nu_1}{h\nu_3} \frac{E_3 - E_3(T, T_1, T_2)}{\tau_3(T, T_1, T_2)}$$

$$-\frac{E_1 - E_1(T)}{\tau_{10}(T)} - \frac{E_1 - E_1(T_2)}{\tau_{12}(T_2)} \quad (10)$$

در این معادله E_1 بر اثر تحریک الکترونی (جمله اول و برخورد ۱ در شکل ۹)، فوتونهای ایجاد شده توسط گسیل برانگیخته (جمله دوم) و انتقال انرژی از حالت ارتعاشی E_3 (جمله سوم و برخورد ۸ در شکل ۹) افزایش یافته و در اثر بازگشت مولکول به حالت انتقال غیر ارتعاشی در اثر برخورد $V-T$ (جمله چهارم و برخورد ۱۰ در شکل ۹) و همچنین برخورد $V-V$ و تبدیل انرژی به حالت ارتعاشی خمشی (جمله آخر و برخورد ۵ در شکل ۹) کاهش می یابد. تعداد الکترونهای برسان تیمتر مکعب در زمان t و X_1 آهنگ (Rate) تحریک حالت ارتعاشی متقارن بوسیله الکترون می باشد. همچنین در جمله دوم مربوط به



شکل ۹ - نقل و انتقال انرژی بین الکترونهای تحریک ، انرژی محیط (انرژی حرکتی مولکولها) و حالات ارتعاشی E_1 تا E_4 در مولکولهای N_2 و CO_2 :
 ۱-۲-۳-۴- تحریک ارتعاشی بوسیله برخورد با الکترون.
 ۵-۶-۷-۸- تبدیل انرژی ارتعاشی و تعادل آن در اثر برخورد مولکولهای CO_2 با یکدیگر و با N_2 (V-V Energy transfer)
 ۹-۱۰- تراوری انرژی ارتعاشی به انتقالی (انرژی حرکتی) در اثر برخورد با جدارهای محیط یا با اتمهای هلیوم و یا با مولکولهای دیگر (V-T Energy Transfer)

مقایسه مشخصات یک لیزر گاز کربنیک با ...

گسیل برانگیخته $I(t)$ شدت میدان فوتونهای لیزر در داخل کاواک (Cavity) لیزر زمان t بر حسب آرگ برثانیه بر سانتیمتر مربع، ΔN اختلاف انبوهی و

$$W = \frac{F \lambda^2}{4\pi^2 h \nu \Delta \nu \tau_{sp}} \quad (11)$$

آهنگ گسیل برانگیخته در قله (Peak) خط طیفی است. در رابطه $\lambda = \frac{c}{\nu}$ طول موج لیزر مساوی با $10/6$ میکرون، $F =$ نسبت حجم فعال لیزر به حجم کل، ثانیه $\tau_{sp} = 5$ عمر متوسط فوتون برای گسیل خودبخود از حالت ارتعاشی متقارن و $\Delta \nu$ پهناهی همگن خط طیفی مورد نظراست که بستگی به نسبت گازها، فشار کل و درجه حرارت دارد:

$$\Delta \nu = \alpha P_{Co_2} + \beta P_{He} + \gamma P_{N_2} \quad (12)$$

در این معادله P_{Co_2} ، P_{He} و P_{N_2} به ترتیب فشار جزئی گاز کربنیک، هلیوم و ازت در مخلوط گازی (بر حسب تور) و α ، β و γ ضرایب پهن شدگی (Broadening Coefficients) خط طیفی گاز کربنیک توسط گاز کربنیک، هلیوم و ازت بر حسب مگاهرتز بر توری باشد این ضرایب در مآخذ متعددی مورد بررسی قرار گرفته و ضرایب مختلفی بدست آمده است (۱۵، ۱۴، ۹، ۸، ۵) که از بین آنها نتایج و روش اندازه گیری مآخذ (۱۴) قابل اطمینان تر می باشد و در برنامه کامپیوتری از آن استفاده شده است. مقادیر مآخذ در درجه حرارت ۳۰۰ K بقرار زیر می باشد:

$$\alpha = 7.6 \text{ MHz/torr} \quad \beta = 4.9 \text{ MHz/torr} \quad \gamma = 5.6 \text{ MHz/torr}$$

جملات سوم تا پنجم رابطه ۱۰ مربوط به تبادل انرژی بین حالت های مختلف ارتعاشی مولکول CO_2 می باشد. در جمله سوم این تغییر انرژی که از ارتعاش نامتقارن E_3 کم و به ارتعاش متقارن E_1 می افزاید با زمان متوسط τ_3 انجام می گیرد که تغییرات آن بر حسب درجات حرارت مختلف T ، T_1 ، T_2 بصورت زیر است (۵، ۸)

$$\tau_3(T, T_1, T_2) = \frac{(\alpha_1 - 1)(\alpha_2 - 1)}{A_3 N_{Co_2} \left\{ \frac{\alpha_1 \alpha_2 \alpha_3(T)}{\alpha_1(T) \alpha_2(T)} - 1 \right\}} \quad (13)$$

مقدار عددی τ_3 در توازن ترمودینامیک در درجه حرارت ۳۰۰°K از رابطه زیر بدست می آید:

$$\frac{1}{\tau_3} = \kappa_{Co_2} N_{Co_2} + \kappa_{N_2} N_{N_2} + \kappa_{He} N_{He} \quad (14)$$

که پس از بررسی مقادیر عددی گوناگون و متفاوتی که برای K_t در مآخذ مختلف ارائه گشته است مقادیر زیر (بر حسب $\text{cm}^3/\text{part}\cdot\text{sec}$) اتخاذ گردید:

$$K_{\text{CO}_2} = 5 \times 10^{-15} \quad K_{\text{N}_2} = 2 \times 10^{-15} \quad K_{\text{He}} = 1 \times 10^{-15} \quad (15)$$

با جایگزین نمودن این ثابت‌ها در رابطه ۱۴ مقدار τ_3 برای $T=T_1=T_2$ و پس از جایگزین کردن در رابطه ۱۳ مقدار عددی ثابت A_3 بدست می‌آید. بدین ترتیب مقدار τ_3 در شرایط کلی T و T_1 و T_2 مشخص می‌شود.

در جمله چهارم رابطه ۱۰ تحلیل انرژی ارتعاش متقارن E_1 از طریق بازگشت مولکولهای CO_2 به تراز پایه (۰۰۰) مشخص شده است. این بازگشت با زمان متوسط $\tau_{10}(T)$ انجام می‌شود که از رابطه زیر بدست می‌آید (۸۹۵).

$$\tau_{10}(T) = 4.5 \tau_{20}(T) \quad (16)$$

در اینجا $\tau_{20}(T)$ زمان متوسط بازگشت به تراز پایه مولکولهای CO_2 در حالت ارتعاش خمشی E_2 می‌باشد که بنوبه خود از رابطه

$$\frac{1}{\tau_{20}(T)} = K'_{\text{CO}_2} N_{\text{CO}_2} + K'_{\text{N}_2} N_{\text{N}_2} + K'_{\text{He}} N_{\text{He}} \quad (17)$$

بدست می‌آید که پس از بررسی مقادیر عددی گوناگون که برای K'_i در مآخذ مختلف (۱۷، ۱۶، ۸، ۵) ارائه گشته است مقادیر زیر اتخاذ گردید:

$$K'_{\text{CO}_2} = 5.5 \times 10^{-15} \quad K'_{\text{N}_2} = 1.1 \times 10^{-15} \quad K'_{\text{He}} = 1.0 \times 10^{-13} \quad (18)$$

در جمله پنجم رابطه ۱۰ تبادل انرژی بین ارتعاش متقارن E_1 و ارتعاش خمشی E_2 در نظر گرفته شده است. این تبادل با زمان متوسط $\tau_{12}(T)$ انجام می‌گیرد که بنوبه خود از رابطه:

$$\tau_{12}(T) = \frac{1}{A_{12} N_{\text{CO}_2}} \frac{1 - \alpha_2(T_2)}{1 + \alpha_2(T_2)} \quad (19)$$

بدست می‌آید. برای بدست آوردن ثابت A_{12} مقدار τ_{12} در درجه حرارت تعادل 300°K از رابطه زیر بدست می‌آید (۸۹۵).

مقایسه مشخصات یک لیزر گاز زکربنیک با ...

$$\frac{1}{\tau_{12}(300)} = K''_{\text{CO}_2} N_{\text{CO}_2} \quad 4.5 \times 10^{-11} = K''_{\text{CO}_2} \quad (20)$$

که با جایگزین کردن آن در رابطه ۱۹ مقدار A_{12} بدست می آید و سپس می توان $\tau_{12}(T_2)$ را برای هر درجه حرارت T_2 بدست آورد. مقدار چگالی انرژی ارتعاشی E_1 در تعادل ترمودینامیک در درجه حرارت T_1 از رابطه زیر بدست می آید.

$$E_1(T_1) = h\nu_1 \frac{N_{\text{CO}_2}}{\exp(h\nu_1/KT_1) - 1} = N_{\text{CO}_2} \alpha_1(T_1) h\nu_1 / (1 - \alpha_1(T_1)) \quad (21)$$

وبالاخره مقدار چگالی انرژی ارتعاشی E_3 در حالت تعادل از رابطه زیر بدست می آید:

$$E_3(T, T_1, T_2) = N_{\text{CO}_2} h\nu_3 \frac{\alpha_1(T_1) \alpha_2(T_2) \alpha_3(T)}{\alpha_2(T) \alpha_1(T)} \quad (22)$$

مقدار چگالی انرژی ارتعاشی خمشی E_2 از معادله زیر بدست می آید:

$$\frac{dE_2}{dt} = N_e(t) N_{\text{CO}_2} h\nu_2 X_2 + \frac{E_1 - E_1^e(T_2)}{\tau_{12}(T_2)} - \frac{E_2 - E_2^e(T)}{\tau_{20}(T)} + \frac{h\nu_2}{h\nu_3} \frac{E_3 - E_3^e(T, T_1, T_2)}{\tau_3(T, T_1, T_2)} \quad (23)$$

در این رابطه X_2 آهنگ تحریک حالت ارتعاش خمشی بوسیله الکترون می باشد و

$$E_2^e(t) = 2N_{\text{CO}_2} h\nu_2 \alpha_2(t) / (1 - \alpha_2(T)) \quad (24)$$

مقدار چگالی انرژی ارتعاشی در حالت نامتقارن E_3 از معادله زیر بدست می آید:

$$\frac{dE_3}{dt} = N_e(t) N_{\text{CO}_2} h\nu_3 X_3 - \frac{E_3 - E_3^e(T, T_1, T_2)}{\tau_3(T, T_1, T_2)} + \frac{E_4 - E_4^e(T_3)}{\tau_{43}(T)} - h\nu_3 \Delta N_{\text{WI}}(t) \quad (25)$$

این انرژی بوسیله ارتعاشات مولکول N_2 و تحریک الکترون تغذیه می شود و با گسیل برانگیخته و گسیل خودبخود (τ_3) کم می شود. X_3 آهنگ تحریک الکترونی می باشد مقدار عددی τ_{43} از رابطه: (مأخذ ۵-۸)

$$\frac{1}{\tau_{43}(T)} = 6 \times 10^{-13} N_{N_2}$$

بدست می آید. بالاخره چگالی انرژی ارتعاشی E_4 در مولکول N_2 بوسیله الکترونها از دیاد می یابد و از طریق مولکول CO_2 در ارتعاش نامتقارن کم می شود:

$$\frac{dE_4}{dt} = N_e(t) N_{N_2} h\nu_4 \alpha_4 - \frac{E_4 - E_4(T_3)}{\tau_{43}(T)} \quad (26)$$

مقدار E_4 در تعادل در درجه حرارت T_3 از رابطه زیر بدست می آید:

$$E_4^e(T_3) = N_{N_2} h\nu_4 \alpha_4(T_3) / (1 - \alpha_4(T_3)) \quad (27)$$

و مقادیر درجات حرارت سه حالت مولکول CO_2 از فرمولهای زیر بدست می آیند:

$$T_1 = \frac{h\nu_1}{\kappa \ln(N_{CO_2} (h\nu_1/E_1) + 1)} \quad , \quad T_2 = \frac{h\nu_2}{\kappa \ln(N_{CO_2} (2h\nu_2/E_2) + 1)}$$

$$T_3 = \frac{h\nu_3/\kappa}{\ln(N_{CO_2} (h\nu_3/E_3) + 1)} \quad (28)$$

آخرین معادله ای که برای تکمیل مدل تئوری فوق مورد نیاز است معادله تغییرات شدت نور در داخل کاواک لیزر است:

$$\frac{dI}{dt} = -\frac{I}{\tau} + ch\nu \Delta N(WI + S) \quad (29)$$

که در آن

$$\tau = \frac{-2L}{C \ln R} \frac{(1-R)}{(1-R-\bar{L})} \quad (30)$$

طول عمر حفره لیزر است (L = طول لیزر، \bar{L} مقدار اتلاف انرژی لیزر، R = ضریب انعکاس آئینه خروجی) S مقدار گسیل خود بخود را تعیین می کند، $S = Ch\nu W$ بطوریکه در هر حالت

مقایسه مشخصات یک لیزر گاز کربنیک با ...

(Mode) کاواک لیزر فوتون خود بخود وجود داشته باشد ..

جهت تعیین آهنگ تحریک الکترونی (X_1 تا X_4) باید مقدار E/N (نسبت میدان الکتریکی بر چگالی اتمها) مشخص باشد. در لیزر TEA مورد نظر ولتاژ ۳۳ KV به دو الکترود که در فاصله ۴ سانتیمتر از یکدیگر قرار دارند اعمال می شود. فشار اتم فسفریک در محوطه آزمایشگاهها نیز در طول سال ۴ \pm ۶۶۶ تور گزارش شده است. در نتیجه:

$$\frac{E}{N} = \frac{33 \text{ KV} / 4 \text{ cm}}{2.547 \times 10^{19} \left(\frac{\text{mol}}{\text{cm}^3} \right) \times \frac{666}{760}} = 3.7 \times 10^{-16} \text{ V/cm}^2 \quad (31)$$

پس از رجوع به مآخذ ۸، ۱۸، ۱۹، ۲۰ جهت تعیین X_1 تا X_4 در این مقدار E/N ، مقادیر زیر انتخاب شد:

$$X_1 = X_2 = 4 \times 10^{-9} \text{ (cm}^3/\text{sec)}, X_3 = 5 \times 10^{-9} \text{ (cm}^3/\text{sec)}, X_4 = 2 \times 10^{-8} \text{ (cm}^3/\text{sec)} \quad (32)$$

در خاتمه باید برای $N_e(t)$ معادله تحلیلی یا شکل عددی خاصی قائل شد. در این زمینه با استفاده از اندازه گیری جریان تخلیه الکتریکی در لیزر بوسیله حلقه های روگوسکی و تطبیق آن با معادله تحلیلی شکل:

$$N_e(t) = N_0 (1 - e^{-t/\tau_1}) e^{-t/\tau_2} \quad (33)$$

مقادیر $\tau_1 = 1 \mu\text{sec}$ و $\tau_2 = 0.5 \mu\text{sec}$ انتخاب شده در برخی موارد نیز شکل تجربی جریان الکتریکی پس از اندازه گیری با حلقه روگوسکی بصورت عددی به برنامه کامپیوتری داده شده است:

در آخرین قسمت برنامه کامپیوتری شدت پرتوی خروجی لیزر P_{out} از روی مقدار I حساب می شود. در این قسمت با در نظر گرفتن ضریب انعکاس خروجی (R) و مقدار اتلاف انرژی در لیزر (\bar{L}) داریم:

$$P_{out}(t) = \frac{-A}{2} (\ln R) I \times \frac{1 - R - \bar{L}}{1 - R} \quad (34)$$

که در آن A سطح مقطع لیزر است. بدین ترتیب شکل زمانی ضربان خروجی لیزر بدست می آید.

۳-۴- کدگامپیوتری "لیزر"

باتوجه به مدل تئوری فوق، کدگامپیوتری "لیزر" (LASER) بزبان فورتران نوشته و تکمیل گشت. در خروجی این برنامه مقدار شدت خروجی ضریان لیزر که در چهار هزار فاصله زمانی $(\Delta t = 1 \text{ ns})$ محاسبه شده است، در فواصل ۵۰ نانوثانیه ای بصورت جدول چاپ شده بوسیله برنامه فرعی (Printer Plot) بصورت منحنی تنظیم و ارائه می شود. بدین ترتیب می توان شکل زمانی ضریان خروجی لیزر را بر حسب پارامترهای تجربی مختلف، از جمله درصد ترکیب گازهای لیزر، ضریب انعکاس آئینه خروجی، طول وسط مقطع فعال لیزر مقدار ضریب اتلاف، تغییرات ضرائب سینتیگی و غیره مورد مطالعه قرارداد.

پنج معادله دیفرانسیل مربوط به E_1 تا E_4 و I از طریق معادله ساده زیر حل می شوند:

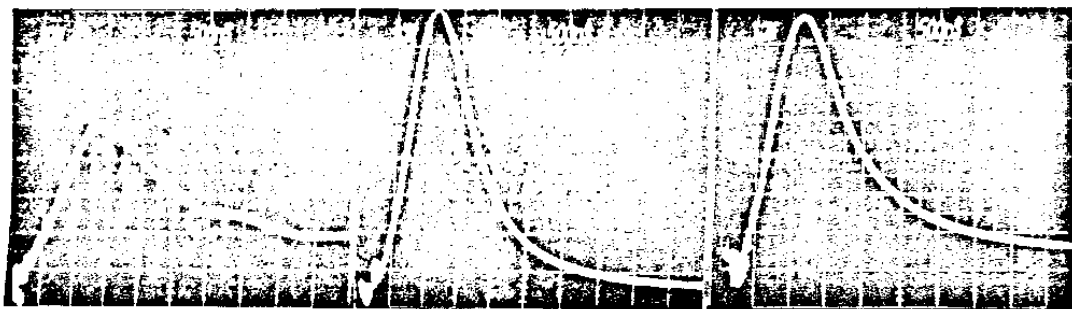
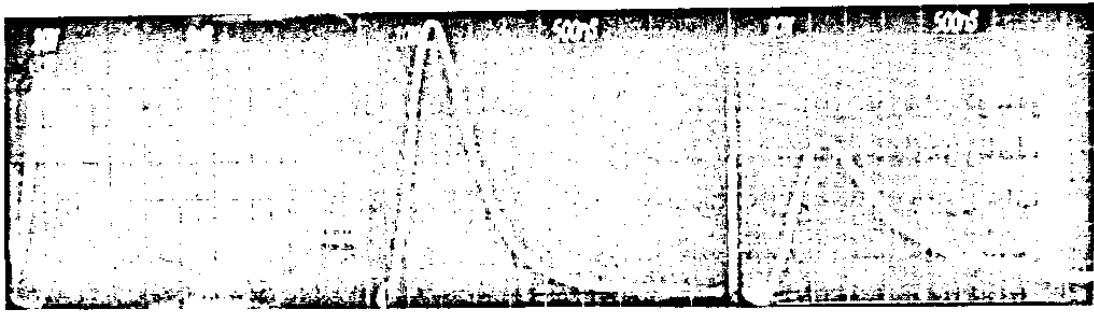
$$Y_{n+1} = Y_n + Y'_n \Delta t \quad (25)$$

در یک محاسبه دقیق تر می توان از متد رونج و کوتا (Runge-Kutta) با متد هامینگ (Hamming) که یک متد پیش بینی کننده تصحیح کننده (Predictor-Corrector) است استفاده نمود. در این متد اخیرا بتدا مقادیر چهار نقطه اولیه بوسیله متد رونج - کوتا محاسبه شده و سپس با استفاده از تکنیکهای محاسبات عددی مربوطه (۸) مقدار y در نقطه بعدی پیش بینی شده و سپس با مقایسه با نتایج قبلی تصحیح می شود. متدهای محاسباتی اخیر دارای زمان محاسبات (CPU Time) چندین برابر فرمول ساده (۲۵) می باشند در حالیکه اگر فاصله زمانی Δt با اندازه کافی کوچک اختیار شود (1 ns) از نظر نتایج محاسباتی زیاد دقیق تر نمی باشند. در نتیجه در کد "لیزر" از رابطه (۲۵) استفاده شده است.

۴- نتایج عملی و مقایسه با مدل تئوری

در شکل ۶ شکل زمانی ضریان لیزر و جریان عبوری از مخلوط گازی برای دو ترکیب متفاوت گازی نشان داده شده است. جریان با استفاده از حلقه روگوسکی و شدت ضریان لیزر با استفاده از دتکتور (فوتون دراگ) ژرمانیم مادون قرمز اندازه گیری شده است. در شکل ۱۰ مقدار جریان اندازه گیری شده برای ۶ مخلوط مختلف نشان داده شده است. چنانچه مشاهده می شود در محدوده مخلوطهای مورد آزمایش مقدار حداکثر جریان تا حدود ۵۰٪ تغییر دارد. جهت مقایسه نتایج عملی با مدل کامپیوتری می توان جریان را با رابطه ریاضی (۳۴) نشان داد و برای هر مخلوط پارامترهای مناسب N_0 و τ_1 و τ_2 را با رابنحوی انتخاب کرد که با شکل عملی و مقدار حداکثر جریان تطابق داشته باشد. بطور کلی بهترین نتایج عملی از نظر انرژی خروجی و عدم وجود جرقه در تخلیه گازی برای منحنی های ۶ و ۲ در شکل ۱۰ بدست می آید که اولی مربوط به مخلوط $(40/3/2) \text{ He-N}_2\text{-CO}_2$ می باشد و در مخلوط دومی فشار جزئی CO_2 حدودا "۷/۰٪ از مخلوط قبلی بیشتر است. در برنامه کامپیوتری عموما "از مقادیر $1 = \tau_1$ میکروثانیه و $\tau_2 = 0.5$ میکروثانیه استفاده شده و مقدار عددی N_0 یک پارامتر ورودی به برنامه

مقایسه مشخصات یک لیزر گاز زکربنیک با . . .



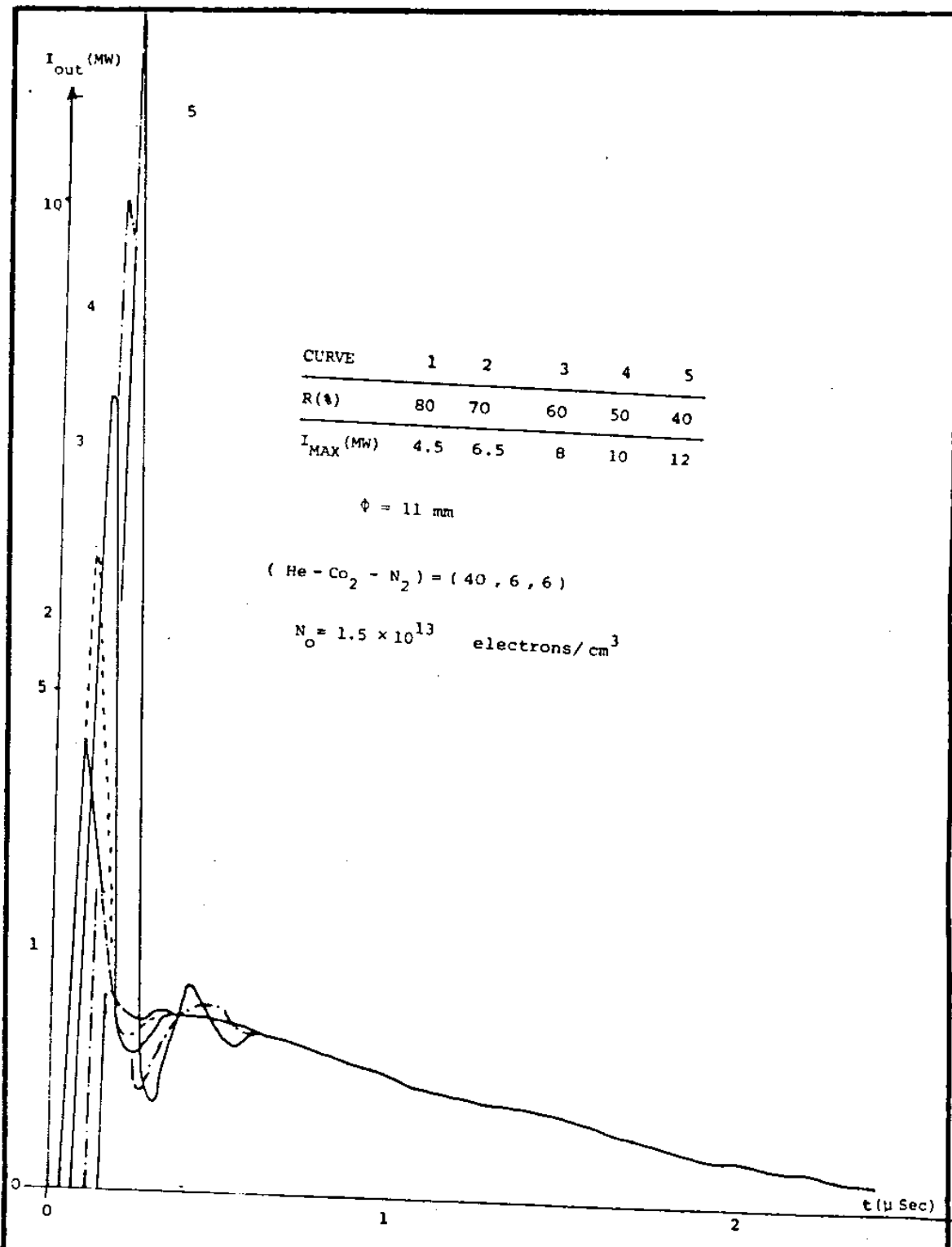
شکل ۱۰ - جریان عبوری از مخلوط گازی برای ۶ مخلوط مختلف گازهای He, Co_2, N_2 (اندازه گیری تجربی)

He	Co ₂	N ₂	
۱۴	۱/۷	۱/۳	(۱)
۱۴	۱/۱۵	۰/۷	(۲)
۱۴	۲	۲/۷	(۳)
۱۴	۱/۰۵	۲/۷	(۴)
۱۴	۱/۰۵	۱/۳	(۵)
۱۴	۱/۰۵	۰/۷	(۶)

است که با توجه به شرایط عملی (شکل ۱۰) در حدود 10^{12} الکترون بر سانتیمتر مکعب انتخاب می شود.

۱-۴- انتخاب ضریب انعکاس مناسب برای آئینه خروجی

جهت انتخاب بهترین ضریب انعکاس برای آئینه خروجی، در شکل ۱۱ نتایج برنامه



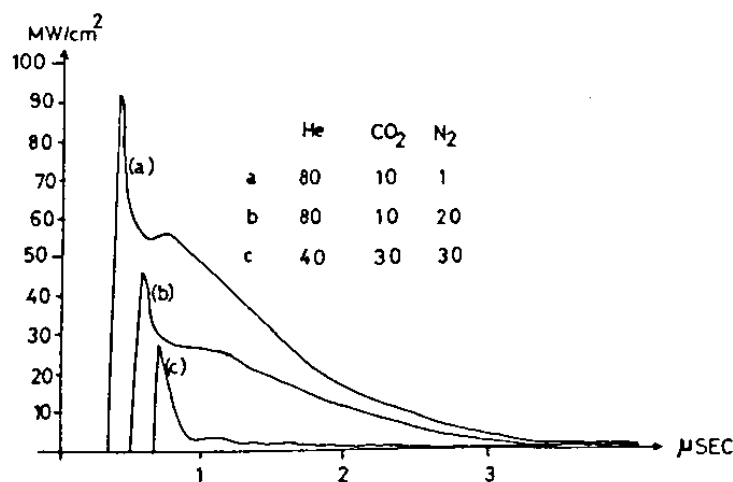
شکل ۱۱ - قدرت خروجی لیزر TEA (مگاوات) بر حسب زمان برای مقادیر مختلف ضریب انعکاس آئینه خروجی (R) (پیش بینی تئوری) فظرتوی لیزر: ۱۱ میلی-متر - مخلوط گازی (He, Co₂, N₂) (۱۴/۱/۱۵، ۱۰/۷)

مقایسه مشخصات یک لیزرگاز کربنیک با ...

کامپیوتری برای $N_0 = 1/5 \times 10^{13}$ الکترون بر سانتیمتر مکعب بر حسب تغییرات ضریب انعکاس آئینه خروجی بین ۳۰٪ تا ۸۰٪ نشان داده شده است. نتایج در جدول مربوط به این شکل مشاهده می شود. مقادیر کل انرژی خروجی پیش بینی شده و حداکثر قدرت مربوطه در داخل و خارج حفره برای یک لیزر با قطر فعال ۱۱ میلیمتر (سطح مقطع ۰/۹۵ سانتیمتر مربع) نشان داده شده است. نتایج نشان می دهد که برای یک مخلوط (۶ : ۶ : ۴۰) کل انرژی خروجی تغییر محسوسی نسبت به ضریب انعکاس آئینه خروجی ندارد لیکن حداکثر قدرت داخلی حفره بین ۲۴ تا ۴۳ مگاوات و حداکثر قدرت خروجی بین ۲/۴ تا ۵ مگاوات تغییر می کند. در عمل آئینه خروجی از یک صفحه ژرمانیم با ضریب انعکاس حدود ۴۰٪ تشکیل شده است. هنگامیکه جهت مقایسه این نتایج با آزمایشهای عملی در لیزر مورد نظر از یک آئینه دیگر با ضریب انعکاس ۸۰٪ استفاده شد لایه انعکاس آئینه در اثر قدرت لحظه ای زیاد لیزر در داخل حفره صدمه دیده و پس از چند ضربه لیزر از بین رفت. در ضمن از آنجاکه قدرت خروجی لیزر برای ضرایب انعکاس کمتر، بیشتر است، می توان نتیجه گرفت که برای لیزر فوق ضریب انعکاس حدود ۴۰٪ مناسب می باشد.

۲-۴- ترکیب مخلوط گازی

در شکل ۱۲ خروجی پیش بینی شده لیزر برای سه ترکیب مختلف مخلوط گازی نشان داده شده است. چنانچه مشاهده می شود با حذف گاز ازت فقط قله اولیه در شکل زمانی قدرت خروجی لیزر باقی می ماند و با افزایش مقدار ازت، ضمن اینکه نوسانهای لیزر، بدلیل ضریب تقویت بیشتر، زودتر شروع می شود، مقدار حداکثر قله قدرت افزایش یافته و مقدار زیادی انرژی به قسمت دوم ضریب لیزر که در دنباله قله اولیه ظاهر می گردد، اضافه می شود. این تغییرات ناشی از عمل مولکول ازت بعنوان یک انبار ذخیره انرژی برای تحریک مولکول گاز کربنیک می باشد که در قسمت تئوری بآن اشاره شده است. نتایج مدل کامپیوتری کاملاً با نتایج عملی مطابقت دارد و با حذف گاز ازت از مخلوط لیزر انرژی آن تقلیل یافته و شکل ضریب خروجی به یک تک ضربه بطول زمانی ۱۰۰ نانوثانیه که مطابق با منحنی زیرین شکل ۱۲



شکل ۱۲ - قدرت خروجی لیزر بر حسب زمان برای سه مخلوط مختلف گازهای He, CO₂, N₂ (پیش بینی تئوری)

می باشد تبدیل می گردد. از نظر انتخاب بهترین مخلوط برای لیزر مورد نظر نتایج کامپیوتری نشان می دهد که هر قدر مقدار CO_2 و N_2 در مخلوط بیشتر باشد قدرت و انرژی خروجی نیز بیشتر می شود. این امر با نتایج عملی انطباق ندارد. دلیل این امر در این است که از دیاد CO_2 در مخلوط گازی باعث ایجاد جرقه در تخلیه الکتریکی می شود و این امر مدل تئوری در نظر گرفته نشده است. لذا جهت دستیابی به بهترین مخلوط گازی باید به نتایج عملی اتکاء کرد. این نتایج نشان می دهد که در ترکیب $(\text{He} - \text{N}_2 - \text{CO}_2)$ (۴۰ : ۳ : ۲) تخلیه با اندازه کافی پایدار بوده و انرژی و قدرت خروجی بیشتری را دارا هستند.

در حال حاضر آزمایشهایی جهت اندازه گیری ضریب تقویت در لیزر گاز کربنیک ضربانی در دست انجام است. از آنجا که ضریب تقویت مستقیماً "به اختلاف جمعیت دو تراز لیزر بستگی دارد، می توان مستقیماً" اختلاف انبوهی اندازه گیری شده را با نتایج مدل تئوری فوق مقایسه نمود. روش فوق با حذف پارامترهای چندی از قبیل ضرایب انعکاس آئینه های لیزر و مقدار اتلاف انرژی در حفره لیزر، مقایسه نتایج عملی با تئوری و تکمیل کد کامپیوتری "لیزر" را تسهیل خواهد بخشید.

۵- نتیجه گیری

بطور خلاصه در این مقاله جزئیات طرح و ساخت عملی یک لیزر گاز کربنیک ضربانی با تخلیه عرضی (TEA) و همچنین یک برنامه کامپیوتری که بر اساس مدل های سینتیکی تئوری مربوطه نوشته شده است عرضه گشته اند.

نتایج عملی بایست بینهای تئوری مدل مربوطه با دقت قابل قبولی تطبیق دارند. جهت از یاد دقت مدل تئوری در آینده می توان از امتداد انتگرال گیری رونج کوتا در برنامه کامپیوتری استفاده نمود و جهت مقایسه دقیق تر با نتایج عملی ضریب تقویت لیزر مربوطه را برای خطوط طیفی مختلف و در شرایط مختلف فشار جزئی ترکیب گازها اندازه گیری نمود. اقدامات فوق در دست انجام بوده و تکمیل کد کامپیوتری "لیزر" را برای پیش بینی مشخصات لیزرهای گاز کربنیک (TEA) برای دستیابی به دقت بیشتر میسر خواهد ساخت.

REFERENCES

1. J.A. Harrison, *Britt. J. Appl. Phys.* 18, 1617, (1967).
2. T.Y. Chang, *Rev. of Scient. Inst.* 44, 405, (1973).
3. E.A. Stappaerts, *Appl. Phys. Lett.* 40, 1018, (1982).
4. S. Moshfegh Hamadani, Technical Report AEOI-64, NRC 76-39, (1976).
5. K. Smith and R.M. Thomson, *Computer Modeling of Gas Lasers*, Plenum Press, (1978).
6. G. Herzberg, *Molecular Spectra and Molecular Structure II: Infrared and Raman Spectra of Polyatomic Molecules*. Van Nostrand (1945).
7. R.J. Harrach, *IEEE. J. of Q.E.* QE11, 349 (1975).
8. K.R. Manes and H.J. Seguin, *J. of Appl. Phys.* 43, 5073 (1972).
9. J.L. Lachambre et al *IEEE. J. of Q.E.* QE14, 170 (1978).
10. A.J. Alcock et al *IEEE. J. of Q.E.* QE11, 767 (1975).
11. P.K. Cheo and R.L. Abrams *Appl. Phys. Lett.* 14, 47 (1969) also 15, 177 (1969).
12. I. Burak et al, *IEEE J. of Q.E.* QE9, 541 (1973).
13. J.C. Stephenson et al *J. Chem. Phys.* 48, 4790 (1968).
14. R.L. Abrams, *Appl. Phys. Lett.* 25, 609 (1974).
15. N.G. Basov et al, *Sov. J. of Q.E.* 5, 13339 (1976).
16. C. Bradley Moore et al, *J. of Chem. Phys.* 46, 4222 (1967).
17. R.L. Taylor and S. Bitterman, *Rev. of Mod. Phys.* 41, 26 (1969).
18. W.L. Nighan and J.R. Bennett, *Appl. Phys. Lett.* 14, 240 (1969).
19. W.L. Nighan and J.R. Bennett, *Phys. Rev.* A2, 1989 (1970).
20. C.J. Elliott et al Los Alamos Scientific Report No.LA 5562-MS (April 1974).

COMPARISON OF THE CHARACTERISTICS OF A CO₂ GAS LASER WITH
THE PARAMETERS OBTAINED BY THE FIVE - TEMPERATURE
THEORETICAL MODEL*

S. Moshfegh Hamedani, A.A. Yaraghchi, F. Madah
F. Soltanmoradi, M.H. Binesh Marvasti

abstract- Vibro-rotational spectroscopic details of the Co₂ linear triatomic molecule are analysed and energy transfer between vibrational and rotational modes is presented in the form of a five-temperature theoretical model. A system of five coupled partial differential equation is obtained describing the physical state of the Co₂-N₂-He mixture and optical intensity build-up in the laser cavity.

A computer code is developed to solve the above equations and predict laser intensity pulse shapes in time, total output energy and other experimental parameters for a given Co₂ TEA laser. The results are compared with experimental data obtained from a Co₂ TEA laser with transverse excitation, atmospheric pressure and 5 MW output power built in our laboratories. Design construction and performance details of this laser are also presented. Output pulse shapes for various gas mixtures, discharge voltage, mirror reflectivity and other experimental parameters are compared with corresponding theoretical and computational predictions. These comparisons show that the above theoretical model is a valid one and is able to predict the physical and experimental results with very good accuracy.

**This Laser was designed and constructed by Dr.Reza K. Mosavi and Aliasghar Yaraghchi in the Laser Division during the years of 1977-8.*